

К ВОПРОСУ ОПРЕДЕЛЕНИЯ СРЕДНЕГО ЗНАЧЕНИЯ
И ДИСПЕРСИИ РЕЗОНАНСНОЙ ЧАСТОТЫ СИСТЕМЫ

Композиционные материалы находят все более широкое применение для изготовления конструктивных изделий. Их физико-механические свойства являются вероятностными величинами, поэтому представляет интерес вычисление среднего значения и дисперсии резонансной частоты системы (рис. 1, а) стержневого типа. Здесь за колебательные элементы принимаются отдельные волокна материала.

Для определения собственной частоты колебаний используем уравнение [1, 2]

$$\omega_0 = \sqrt{\frac{c}{m}}, \quad (1)$$

где $c = \frac{48EI}{l^3}$ — коэффициент жесткости;

$I = \frac{\pi d^4}{64}$ — момент инерции стержня; E — модуль Юнга; l — длина стержня; d — диаметр стержня; $m = \rho \frac{\pi d^2 l}{4}$ — сосредоточенная масса; ρ — удельная плотность материала.

Для колебательной системы (рис. 1, б) коэффициент приведенной жесткости записывается в виде

$$c = \sum_{i=1}^n c_i, \quad (2)$$

а значение приведенной массы

$$m = \sum_{i=1}^n m_i. \quad (3)$$

Подставляя выражения (2), (3) в уравнение (1), определяем собственную резонансную частоту системы (см. рис. 1, б)

$$\omega_{0n} = \left(\frac{3E \sum_{i=1}^n \frac{d_i^4}{l_i^3}}{\rho \sum_{i=1}^n l_i d_i^2} \right)^{\frac{1}{2}}. \quad (4)$$

Если принять, что величины d_i и l_i распределены по нормальному закону и являются случайными величинами, то математическое ожидание собственной резонансной частоты колебаний ω_0 для модели, показанной на рис. 1, а, или для i -го элемента модели на рис. 1, б можно записать в виде

$$M[\omega_0] = \frac{1}{2\pi\sigma_1\sigma_2} \int_{a_1}^{b_1} \int_{a_2}^{b_2} \omega_0 \exp \left[-\frac{(z_1 - m_1)^2}{2\sigma_1^2} - \frac{(z_2 - m_2)^2}{2\sigma_2^2} \right] dz_1 dz_2, \quad (5)$$

где $z_1 = d$; $z_2 = l$; m_1 — математическое ожидание величины d ; m_2 — математическое ожидание величины l ; σ_1 — среднее квадратическое отклонение для величины d ; σ_2 — среднее квадратическое отклонение для величины l ; a_1, b_1 — границы распределения величины d ; a_2, b_2 — границы распределения величины l .

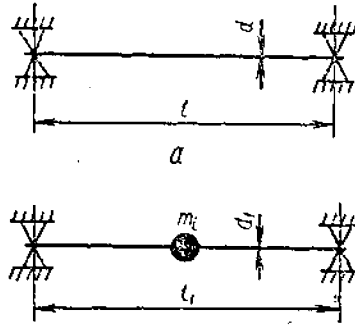


Рис. 1

При случайном числе элементов n резонансная частота ω_0 имеет приближенное значение

$$\omega_0 \approx \sum_{n=1}^N \frac{M[\omega_{0n}]}{N}. \quad (6)$$

Здесь N — максимальное число элементов системы.

Согласно результатам работы [1], с учетом формул (4), (5) можно записать значение математического ожидания собственной резонансной частоты системы (рис. 1, б) для общего случая:

$$M[\omega_{0n}] = \frac{1}{(2\pi)^N \sigma_1^N \sigma_2^N} \int_{a_1}^{b_1} \dots \int_{a_1}^{b_1} \int_{a_2}^{b_2} \dots \int_{a_2}^{b_2} \omega_{0n} \exp \left\{ - \sum_{i=1}^N \left[\frac{(z_{1i} - m_1)^2}{2\sigma_1^2} + \frac{(z_{2i} - m_2)^2}{2\sigma_2^2} \right] \right\} dz_{11} \dots dz_{1N} dz_{21} \dots dz_{2N}, \quad (7)$$

где $z_{11}, \dots, z_{1N}, z_{21}, \dots, z_{2N}$ — переменные интегрирования, соответствующие независимым случайным величинам

$$d_1, \dots, d_N, l_1, \dots, l_N.$$

В связи со сложностью аналитических вычислений n -мерных интегралов при большом числе N и трудностями, возникающими при использовании для их решения ЭВМ, значение $M[\omega_{0n}]$ можно вычислить приближенно:

$$M[\omega_{0n}] \approx \left(\xi \frac{M[\varphi_n]}{M[\psi_n]} \right)^{\frac{1}{2}}. \quad (8)$$

В формуле (8) введены следующие обозначения:

$$\xi = \frac{3E}{\rho};$$

$$\begin{aligned} M[\varphi_n] &= M \left[\sum_{i=1}^N \frac{d_i^4}{i^3} \right] = \frac{1}{(2\pi)^N \sigma_1^N \sigma_2^N} \int_{a_1}^{b_1} \dots \int_{a_1}^{b_1} \int_{a_2}^{b_2} \dots \int_{a_2}^{b_2} \left[\sum_{i=1}^N \frac{(z_{1i})^4}{(z_{2i})^3} \right] \times \\ &\times \exp \left\{ - \sum_{i=1}^N \left[\frac{(z_{1i} - m_1)^2}{2\sigma_1^2} + \frac{(z_{2i} - m_2)^2}{2\sigma_2^2} \right] \right\} dz_{11} \dots dz_{1N} dz_{21} \dots dz_{2N} = \\ &= M[z_1^4] M \left[\frac{1}{z_2^3} \right] n; \\ M[\psi_n] &= M \left[\sum_{i=1}^n l_i d_i^2 \right] = \frac{1}{(2\pi)^N \sigma_1^N \sigma_2^N} \int_{a_1}^{b_1} \dots \int_{a_1}^{b_1} \int_{a_2}^{b_2} \dots \int_{a_2}^{b_2} \left[\sum_{i=1}^n z_{2i} z_{1i}^2 \right] \times \\ &\times \exp \left\{ - \sum_{i=1}^N \left[\frac{(z_{1i} - m_1)^2}{2\sigma_1^2} + \frac{(z_{2i} - m_2)^2}{2\sigma_2^2} \right] \right\} dz_{11} \dots dz_{1N} \times dz_{21} \dots dz_{2N} = \\ &= M[z_2] M[z_1^2] n, \end{aligned} \quad (9)$$

где

$$M[z_1^4] = \int_{a_1}^{b_1} z_1^4 f(z_1) dz_1; \quad f(z_1) = \frac{1}{\sqrt{2\pi}\sigma_1} \exp \left[- \frac{(z_1 - m_1)^2}{2\sigma_1^2} \right];$$

$$M\{z_1^2\} = \int_{a_1}^{b_1} z_1^2 f(z_1) dz_1; \quad M\{z_2\} = \int_{a_2}^{b_2} z_2 f(z_2) dz_2;$$

$$f(z_2) = \frac{1}{\sqrt{2\pi}\sigma_2} \exp\left[-\frac{(z_2 - m_2)^2}{2\sigma_2^2}\right]; \quad M\left[\frac{1}{z_2^3}\right] = \int_{a_2}^{b_2} \frac{1}{z_2^3} f(z_2) dz_2.$$

После подстановки формул (9) в (8) получим выражение для математического ожидания собственной резонансной частоты:

$$M\{\omega_{0n}\} \approx \left(\xi \frac{M\{z_1^4\} M\left[\frac{1}{z_2^3}\right]}{M\{z_2\} M\{z_1^2\}} \right)^{\frac{1}{2}}. \quad (10)$$

Дисперсия частоты для модели рис. 1, а имеет вид

$$D = \sigma^2 = \frac{1}{2\pi\sigma_1\sigma_2} \int_{a_1}^{b_1} \int_{a_2}^{b_2} \omega_0^2 \exp\left[-\frac{(z_1 - m_1)^2}{2\sigma_1^2} - \frac{(z_2 - m_2)^2}{2\sigma_2^2}\right] dz_1 dz_2 - M^2\{\omega_0\}.$$

Для модели на рис. 1, б исправленное среднеквадратическое отклонение при случайной величине N находим по формуле

$$\tilde{\sigma}^2 = \sum_{n=1}^N \frac{1}{N-1} (D_n - \tilde{D})^2. \quad (11)$$

Здесь через \tilde{D} обозначена средняя дисперсия, т. е.

$$\tilde{D} \approx \sum_{n=1}^N \frac{1}{N} \left(\xi \frac{D\varphi_n}{D\psi_n} \right)^{\frac{1}{2}}.$$

Функции $D\varphi_n$ и $D\psi_n$ имеют вид

$$D\varphi_n = M\{\varphi_n^2\} - (M\{\varphi_n\})^2 = \frac{1}{(2\pi)^N \sigma_1^N \sigma_2^N} \underbrace{\int_{a_1}^{b_1} \dots \int_{a_1}^{b_1}}_N \underbrace{\int_{a_2}^{b_2} \dots \int_{a_2}^{b_2}}_N \left(\sum_{i=1}^N \frac{z_{1i}^4}{z_{2i}^3} \right)^2 \times$$

$$\times \exp\left\{-\sum_{i=1}^N \left[\frac{(z_{1i} - m_1)^2}{2\sigma_1^2} + \frac{(z_{2i} - m_2)^2}{2\sigma_2^2} \right]\right\} dz_{11} \dots dz_{1N} dz_{21} \dots dz_{2N} -$$

$$- M^2\{z_1^4\} M^2\left[\frac{1}{z_2^3}\right] n^2 = M^2\left[\frac{1}{z_1^3}\right] M^2\{z_1^4\} c_n^2 + M\left[\frac{1}{z_2^6}\right] M\{z_1^8\} n -$$

$$- M^2\{z_1^4\} M^2\left[\frac{1}{z_2^3}\right] n^2 = -\frac{n+1}{2} n M^2\left[\frac{1}{z_2^3}\right] M^2\{z_1^4\} + M\left[\frac{1}{z_2^6}\right] M\{z_1^8\} n,$$

$$D\psi_n = nM\{z_2^2\} M\{z_1^4\} + c_n^2 M^2\{z_2\} M^2\{z_1^2\} - n^2 M^2 \times$$

$$\times \{z_2\} M^2\{z_1^2\} = nM\{z_2^2\} M\{z_1^4\} - \frac{n+1}{2} n M^2\{z_2\} M^2\{z_1^2\}.$$

Учитывая найденные значения $D\varphi_n$ и $D\psi_n$, для определения дисперсии записываем выражение

$$D_n \approx \left(\xi \frac{D\varphi_n}{D\psi_n} \right)^{\frac{1}{2}}. \quad (12)$$

Предложенная выше модель проверена применительно к звукоизоляционным материалам, состоящим из волокнистых наполнителей. Такие наполнители можно рассматривать как множество колебательных систем, каждая из которых состоит из пучка волокон. Длина и количество волокон в пучке зависят от плотности применяемого материала. Значения диаметра волокна d и их количества N_i приведены ниже:

d	6	6,5	7	7,5	8	8,5	9	9,5	10
N_i	10	42	110	199	252	211	118	46	12

Исходя из χ^2 -критерия Пирсона с уровнем значимости 0,01 установлено, что диаметр волокон является случайной величиной с нормальным законом распределения при математическом ожидании диаметра волокон 8 мкм и дисперсии 0,616 мкм².

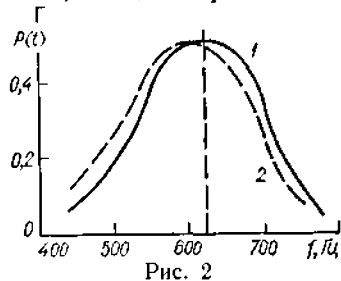


Рис. 2

На основании выражений (10), (12) проведены вычисления и построен график (рис. 2) зависимости математического ожидания резонансной частоты базальтосилокнистого материала при фиксированном значении длины волокна 1000 мкм. По оси ординат рис. 2 указана плотность распределения вероятностей $P(f)$, а по оси абсцисс — значения частот f . Из этого рисунка видно, что

математическое ожидание резонансной частоты равно 630 Гц со среднеквадратическим отклонением 72 Гц (кривая 1) и в достаточной мере совпадает (кривая 2) с результатами исследований [3, 4].

1. Крамар Г. Математические методы статистики.— М. : Мир, 1976.— 345 с.
2. Пановко Я. Г. Основы прикладной теории колебаний и удара.— Л. : Машиностроение, 1976.— 320 с.
3. Скоропад В. В. Построение математических моделей звукопоглощающих неоднородных сред.— В кн.: Тез. докл. конф. «Повышение качества изделий, изготовляемых из полимер. материалов». Секция 2. Киев : УкрНИИТИ, 1977, с. 27.
4. Davern W. A. Perforated facings backed with porous materials as sound absorbers.— Appl. Acoust., 1977, 10, N 2, p. 85—112.

Львовский университет

Поступила в редколлегию
16.01.81

Тернопольский финансово-экономический институт